

大阪市立大学工学部 学生員 ○ 酒造敏廣
大阪市立大学工学部 正員 中井博

1. まえがき

長大な曲線箱桁橋を設計する場合、解決しなければならない問題として、ダイヤフラム配置法ならびに所要剛度にに関する問題があげられる。直線箱桁橋に対するダイヤフラム設計法は、すでに坂井ら¹⁾により明らかにされてきたが、曲線箱桁橋の場合については、現在のところ明確でないのが現状である。我々は、過去にこれらへ問題について研究を行なってきたが、本文においては曲線箱桁橋のダイヤフラム設計法を提案するに先立ち、断面変形の解析に必要なパラメータの特性を明らかにするために、箱桁断面を有する実橋（直線箱桁橋を含む）について、その断面寸法や中间ダイヤフラムの剛度などについて調査し、報告するものである。

2. 断面変形に関する基礎式

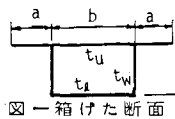
$$\textcircled{①}^{\text{R}} + \times \lambda^{\text{R}} \textcircled{②} = \frac{1}{E I_{\text{bw}}} \left(\frac{m}{2} + \frac{\rho}{R} M_y \right) \quad \dots \dots (1)$$

$$M_{\text{bw}} = E I_{\text{bw}} \textcircled{①}^{\text{R}} \quad \dots \dots (2)$$

$$\sigma_{\text{bw}} = \frac{M_{\text{bw}}}{I_{\text{bw}}} \omega_0 \quad \dots \dots (3)$$

ここで、 $\textcircled{④}$ ；すり角、 I_{bw} ；すりにに関するヨリ定数、
 M_y ；曲げモーメント、 M_{bw} ；すりにに関するヨリモーメント。
 σ_{bw} ；すり応力、 ω_0 ；すりにに関するヨリ剛数。（文献3）

3. パラメトリック解析



実橋の断面諸量を調査し、種々

たものを図-1～6に示す。

まず、曲線箱桁橋の場合、直線箱桁橋と異なり曲げモーメントによるすりの影響を考慮する必要があり、これに対する補正係数がある。図-1より b/h に大きく左右され、図示のようにほぼ一つの曲線上にあることわかる。このことから β の値は箱断面が特に狭長 ($b/h < 0.6$) ではないかぎり、 $0.515 \sim 0.54$ の間にあることわかる。

つきに、図-2は、箱桁の腹板と上下フランジの結合点の断面変形による垂直応力の比 β と、箱桁の縦横比 b/h の関係を示す。この図から β は箱桁の幅 b とブランケット長 a の比 a/b により大きく左右され、箱断面が偏平になり a/b が大きくなるにしたがい、上下フランジのすり応力の比は大きくなることがわかる。

また、図-3, 4は、パラメータ $\alpha = b/h$, $\beta = b/h$ の関係を示す。パラメータ α は箱桁橋の曲げねじり解析におけるねじり定数比に相当するもので、図-3から α の値は、箱桁

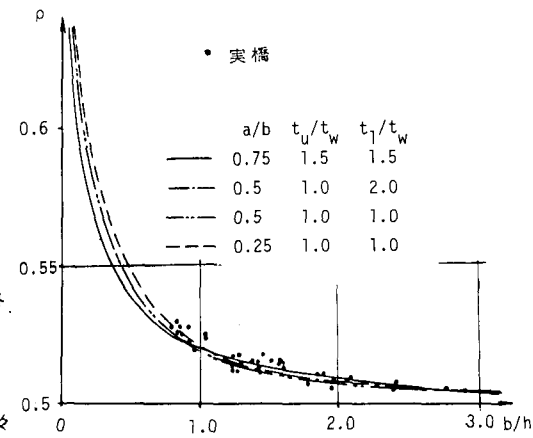


図-1 $\beta - b/h$ の関係

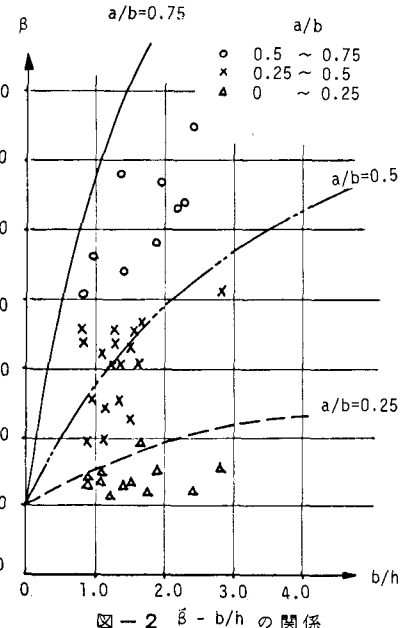


図-2 $\beta - b/h$ の関係

幅もまたはんか小さくなるにしたがい大きくなることかわかる。
しかししながら、 λl の値はねじり定数比のよう大きくならず。
断面変形の場合 $\lambda l < 3$ であることがわかる。

最後に、図-5 はダイヤフラムの型式とその間隔 l_D ならびに
スパン l の関係を示したものであり、参考のためにすり応力 σ_{Dw}
と曲げ応力 σ_B の比がそれぞれ、 $\sigma_{Dw}/\sigma_B = 0.05, 0.10, 0.15,$
 0.20 の曲線²⁾ を示す。また、剛度 K_D と箱桁の剛度 $K_{Dw} \times l_D$
の比 $K_D/K_{Dw} \cdot l_D$ の関係をプロットすると図-6 のようになる。
文献2)ではダイヤフラムへ所要剛度として、 $K_D/K_{Dw} \cdot l_D$ の値
が約1,500以上あれば十分であることを明らかにしたが

実橋のダイヤフラムはこの条件を十分に満たす所要剛度を有し
ていることかわかる。

4. あとがき

本文は、曲線箱桁橋、断面変形に関するパラメーターおよび、
断面諸量などの特性などを、実橋、断面寸法より、パラメトリック
解析を行な、したものである。本文において、断面変形に関する
すみのパラメーターなどの特性を明らかにでき、曲線箱桁橋、ダ
イヤフラム間隔ならびに所要剛度を定める簡易式を決定するの
に、有用な資料となると思われる。なお、これらはパラメータ
ーを使用して、若干の計算を行なった結果についてとは、土木學
会当日発表の予定である。

参考文献: 1) 及井・長井: 論文報告集, N, 261 (1977-5)
2) 及井・村山・酒造: 工木学会開西支部講演会 I-57 (昭53)
3) 及井・村山: 断面変形による応力解析と実験, 論文報告集技術
中 4) Dubrowski, R.; Gekrümmte duwandige Träger, Springer
Verlag, S. 146-172 (1968)

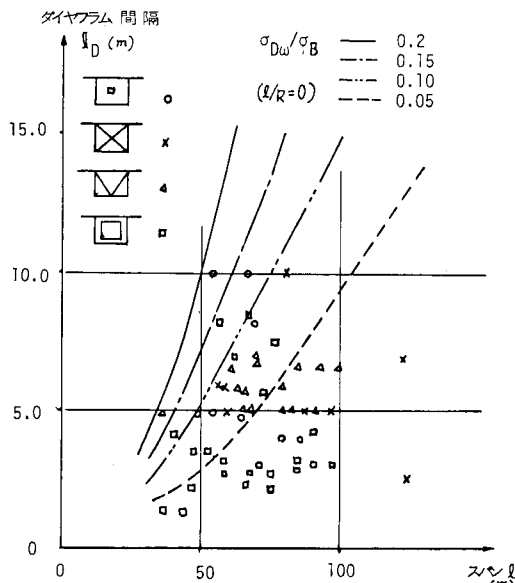


図-5 ダイヤフラム間隔 l_D とスパン l の関係

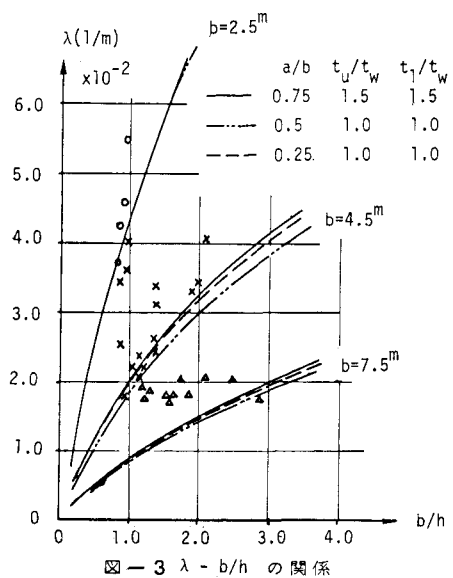


図-3 $\lambda - b/h$ の関係

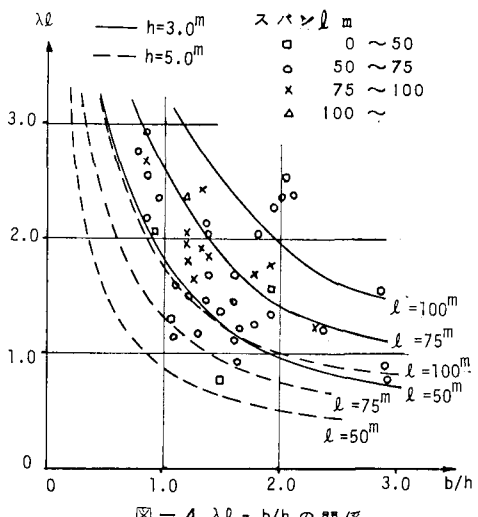


図-4 $\lambda l - b/h$ の関係

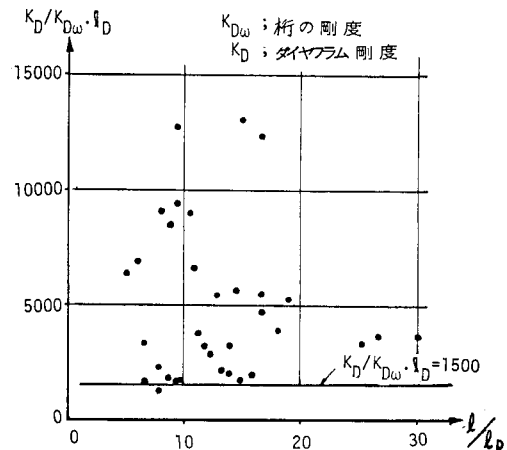


図-6 $K_D/K_{Dw} \cdot l_D - l/l_D$ の関係